

**Mise en place d'un système embarqué captant des signaux physiques, traitant des données en temps réel et récupérant les vibrations de ce dernier sous forme d'énergie électrique.**

Victor  
Peccenini

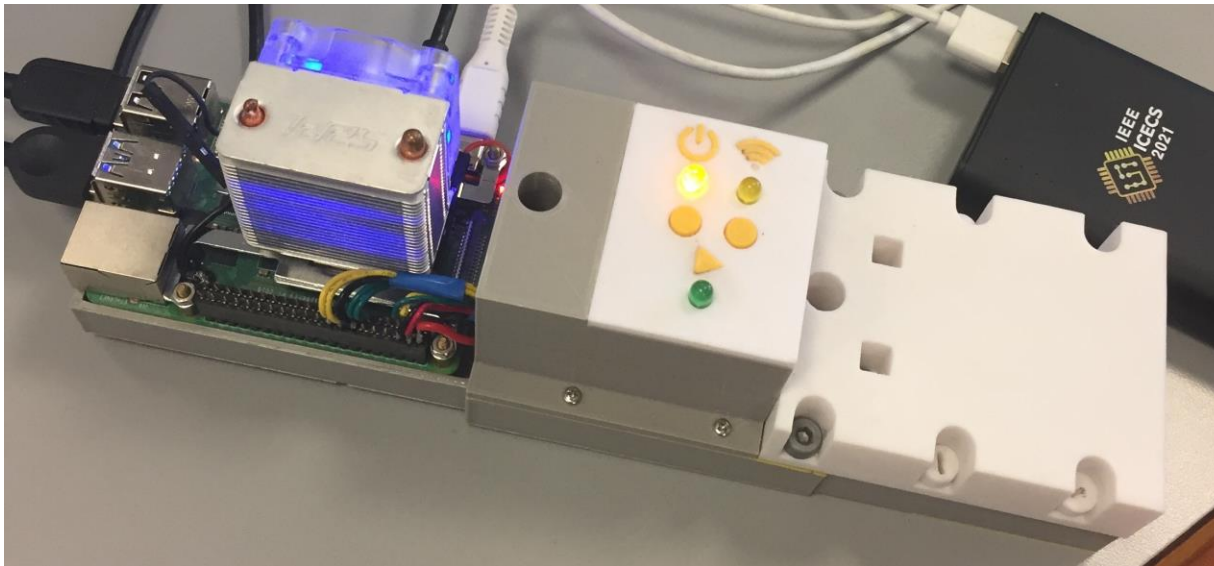
N°18461



# Problématique

**Dans quelle mesure peut-on récupérer de l'énergie électrique en roulant en ville en vélo lorsque le système est soumis à des vibrations ? Un tel système serait-il rentable et efficace ?**

Système étudié :



**Dans quelle mesure peut-on récupérer de l'énergie électrique en roulant en ville en vélo lorsque le système est soumis à des vibrations ? Un tel système serait-il rentable et efficace ?**

0 – Introduction au phénomène piézoélectrique

1 – Présentation du système embarqué

2 – Vérification des performances du système

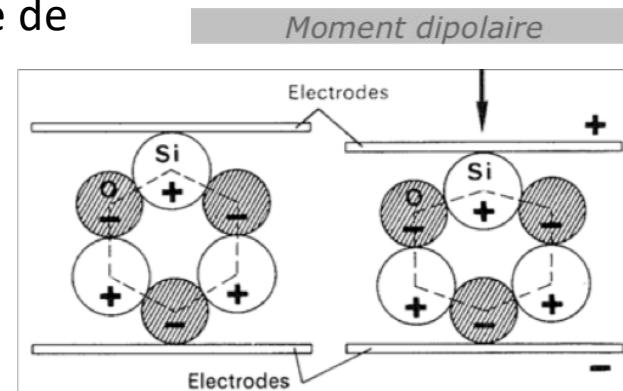
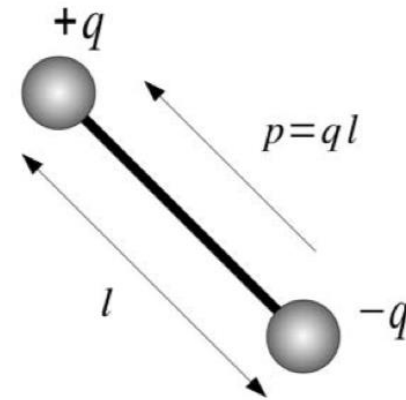
3 – Justification de l'utilité du système

4 – Limites et améliorations du système

# 0. Phénomène piézoélectrique

## Fonctionnement:

- Force → déformation → tension
- Force → Déplacement des atomes (chargés + ou -), intérieur matériaux piézoélectriques, pas de centre de symétrie.
- Barycentres de charges positives et négatives différents → polarisation électrique → création d'un moment dipolaire → génère une tension.



Source : [http://electroacoustique.univ-lemans.fr/cours/pdf/grain\\_34.pdf](http://electroacoustique.univ-lemans.fr/cours/pdf/grain_34.pdf)

# 1 - Présentation du système

Raspberry Pi

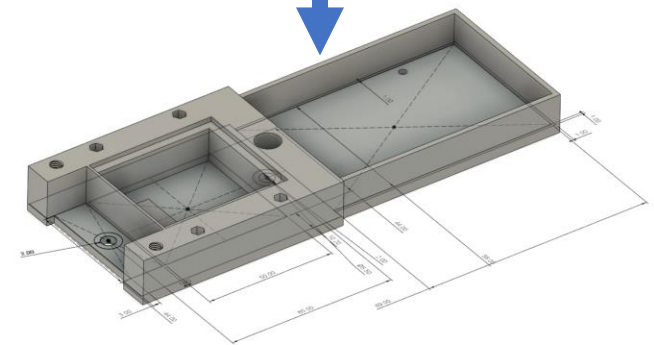
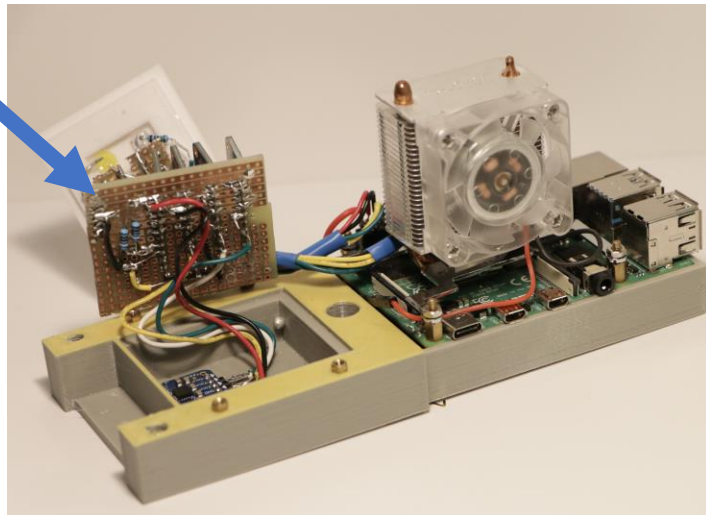
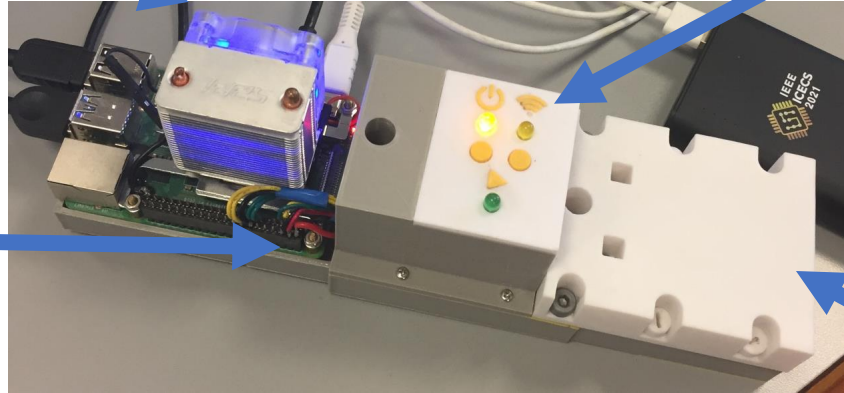
Le circuit  
électronique relié  
à l'accéléromètre

Interface  
utilisateur :

- 2 boutons
- 3 LED (script, données, wifi)

Coiffe  
piézoélectrique

Plaque du  
convertisseur  
analogique  
numérique



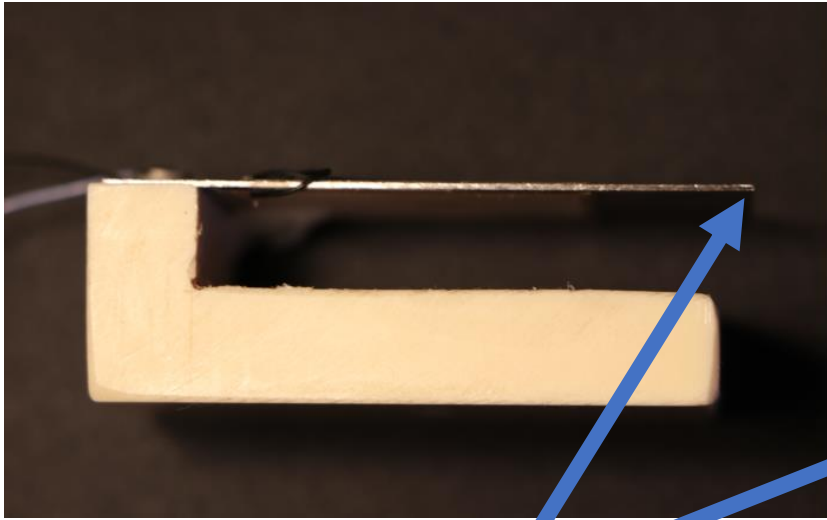
# 1 - Présentation du système

- Assurer une liaison rigide entre le vélo, le piézo-électrique et l'accéléromètre. ✓
- Maintenir fermement la Raspberry Pi ✓
- Permettre d'accéder facilement aux composants sur le tube diagonal ✓
- Assurer une liaison rigide entre le vélo et la batterie

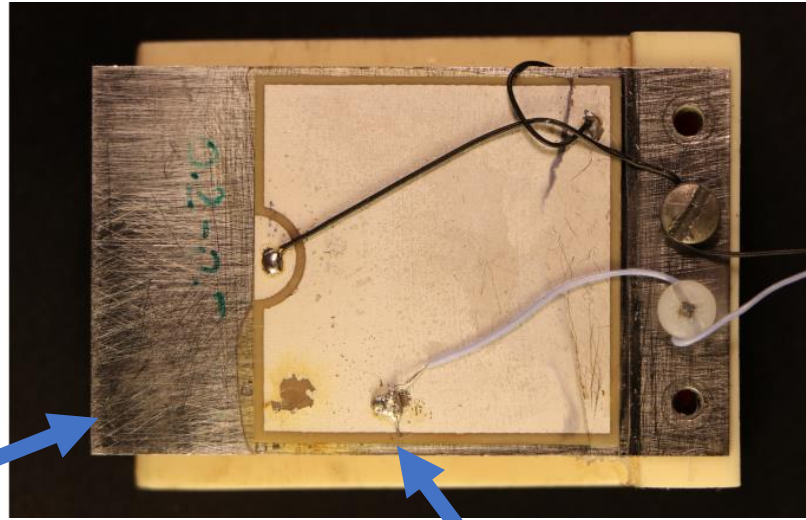




# 1.1 - Description des composants



Plaque en métal rigide  
Fixée sur un support plastique rigide

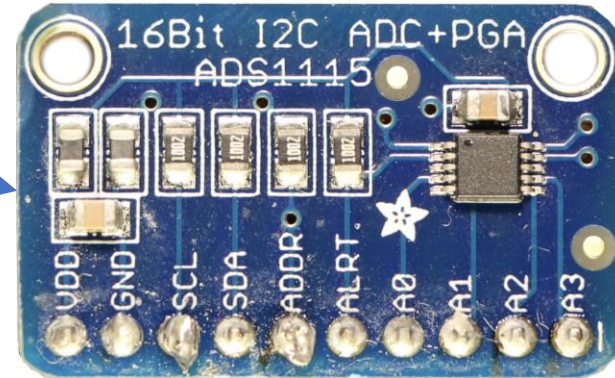


Dipôle piézo-électrique

- Capteur piézo-électrique  $\Leftrightarrow$  générateur de tension alternative

# 1.1 - Description des composants

Le convertisseur analogique  
numérique (ADC)



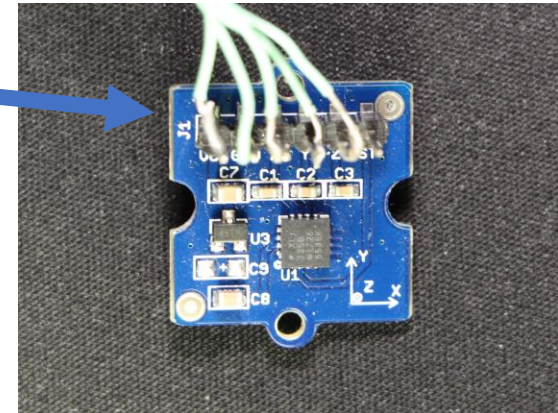
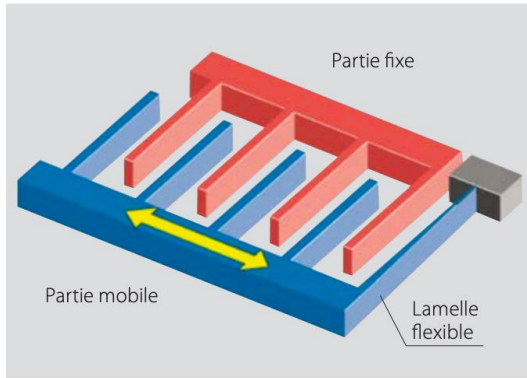
ADS1115 vu de dessus

Les convertisseurs analogiques numériques  $\Leftrightarrow$  voltmètres miniatures.



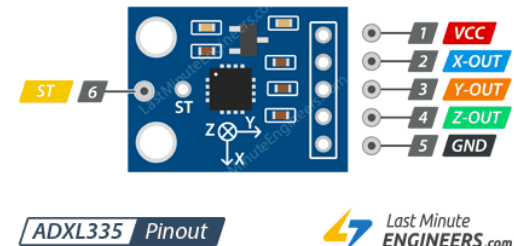
# 1.1 - Description des composants

## L'accéléromètre analogique



Variation vitesse

- ➔ accélération
- ➔ déplacement du peigne mobile de quelques dizaines de nanomètres. Modification de la capacité électrique équivalente.
- ➔ signaux analogiques dont les amplitudes sont proportionnelles à l'accélération



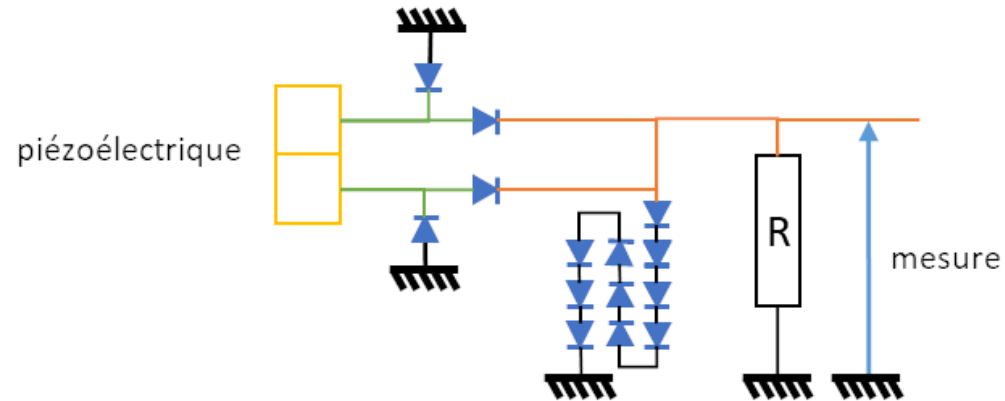
Source: <https://eduscol.education.fr/sti/sites/eduscol.education.fr/sti/files/ressources/techniques/1386/1386-172-p54.pdf>

Victor Peccenini  
N°

# 1.2 - Montage initial

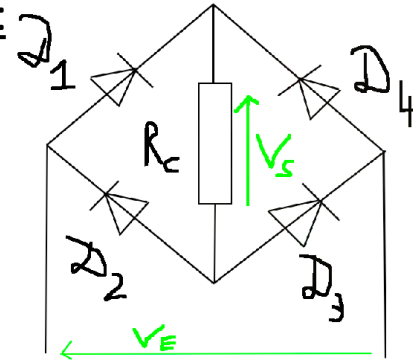
## Montage électronique

- Le signal est redressé par un pont de Graetz → perte de 1,2V sur la mesure

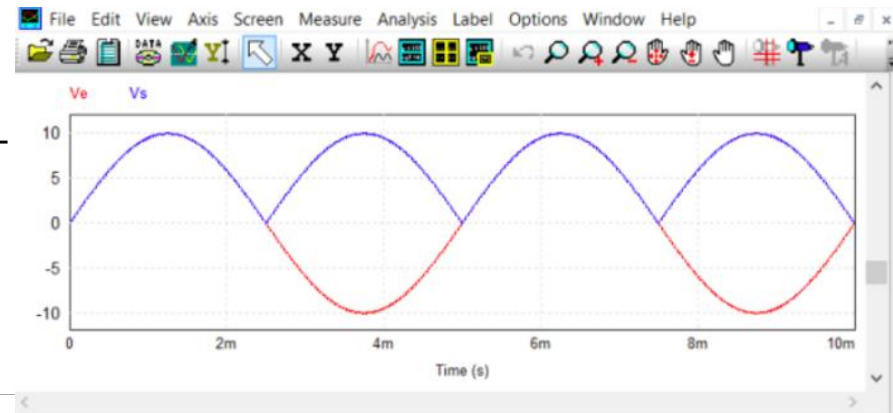


## Objectif du pont de Graetz :

- Redressement à double alternance → rendre l'alimentation linéaire



*Figure réalisée sur Paint  
représentative du circuit  
sur PSIM*



*Redressement à l'aide de PSIM*

# 1.2 - Montage initial

## Montage informatique :

Etudiants Sorbonne : Le Raspberry Pi + programme informatique

Programme = un seul fichier :

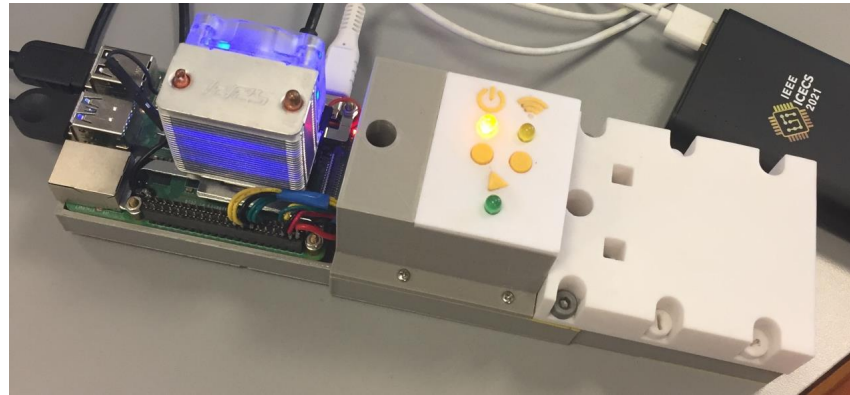
- Se déclencher au démarrage du Raspberry Pi
- Créer les fichiers contenant les résultats
- Ecrire les mesures du système dans ces fichiers résultats.



Aucune modification dans le code de récupération seulement celui de l'analyse

## Boite et assemblage :

Récupéré comme tel :



# 1.3 Présentation du programme initial

## Le programme initial:

Permet de :

- Lire le fichier csv
- Changer les cellules en float
- Passage des unités binaires du processeur aux unités physiques
- Tout afficher en graphe

## **ANNEXE 1**

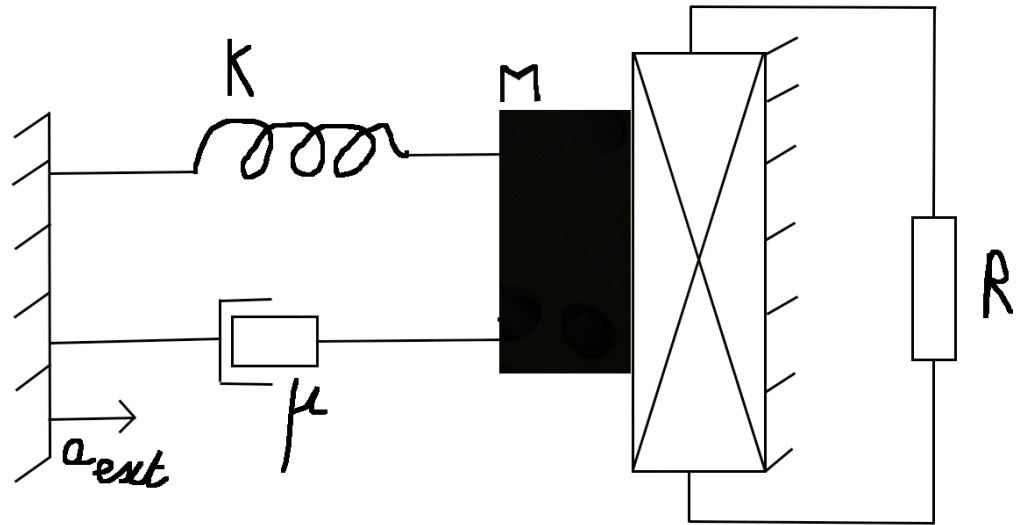
*Le programme a été écrit sur Visual Studio Code*

## Le programme qui suit :

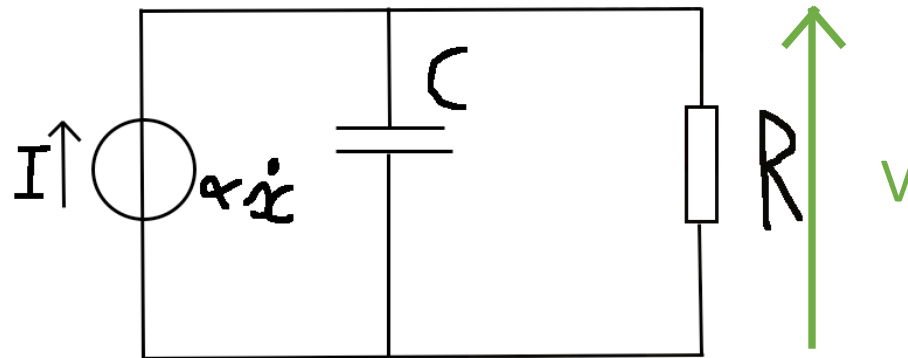
Développer à l'aide du modèle du couplage électromécanique qui suit.

# 1.4 - Couplage électromécanique

Modèle mécanique du circuit :



Modèle électrique :



*Figures réalisées sur Paint*

Victor Peccenini  
N°

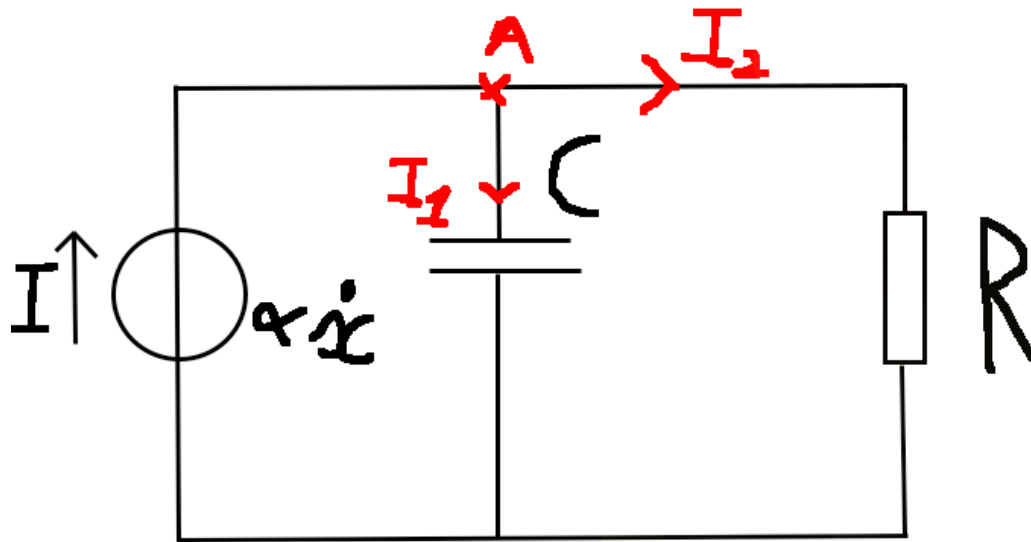
# 1.4 - Modèle électrique

## Modèle électrique :

D'après la loi des nœuds :

$$I = I_1 + I_2$$

$$C \frac{dV}{dt} + \frac{V}{R} = \frac{dx}{dt} \alpha$$



Car :

$$q = C \times V \quad \Leftrightarrow \quad \frac{dq}{dt} = I_1 = C \frac{dV}{dt}$$

Et d'après la loi d'Ohm :

$$V = R I_2 \quad \Leftrightarrow$$

$$I_2 = \frac{V}{R}$$

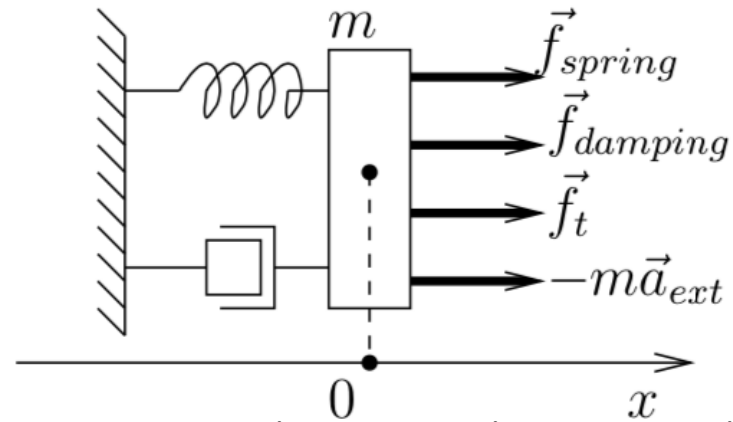
Figure réalisée sur Paint



# 1.4 - Modèle mécanique

## Hypothèses :

- Référentiel terrestre supposé galiléen
- Transducteur approximé à un point ponctuel



Source : More than Moore: Vibration energy harvesting  
cours Sorbonne, Dimitri Galayko

## On isole : Le transducteur

## Bilan des forces :

- Force élastique du ressort :  $\overrightarrow{F_{\text{élastique}}} = -kx \overrightarrow{u_x}$
- Force de frottement :  $\overrightarrow{F_{\text{frottement}}} = -\mu \dot{x} \overrightarrow{u_x}$
- Accélération extérieure :  $\overrightarrow{F_{\text{ext}}} = -ma_{\text{ext}} \overrightarrow{u_x}$
- Une force du transducteur :  $\overrightarrow{F_t} = \alpha_{\dot{x}} \nabla \overrightarrow{u_x}$

## D'après le PFD appliqué au transducteur :

$$\sum \overrightarrow{F_{\text{ext}}} = m\vec{a}$$

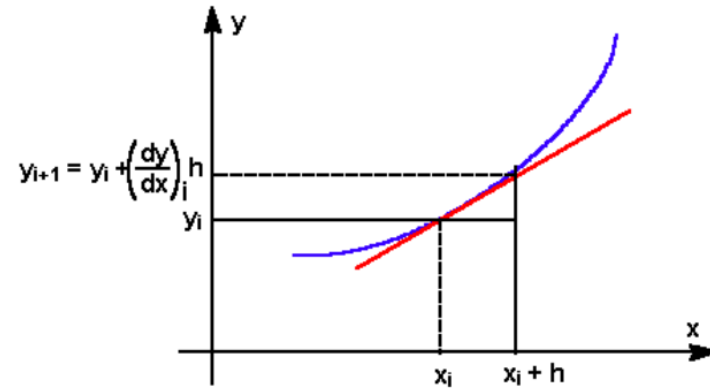
En projection selon  $\overrightarrow{u_x}$

$$-kx - \mu \dot{x} - ma_{\text{ext}} + F_t = m\ddot{x}$$

# 1.4 - Résolution couplage électromécanique

## Méthode d'Euler explicite :

- Méthode numérique **itérative**
- Obtention d'une solution d'une équation différentielle à partir des conditions initiales

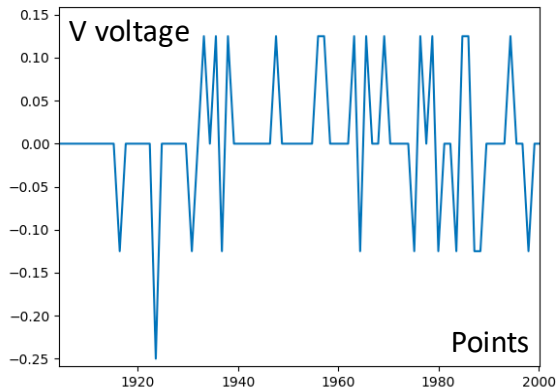


## ANNEXE 2 et 3

Source : [https://www4.ac-nancy-metz.fr/physique/ancien\\_site/divers/MethodNum/euler/EULER.htm](https://www4.ac-nancy-metz.fr/physique/ancien_site/divers/MethodNum/euler/EULER.htm)

# 2 – Vérification des performances

## Résultats des mesures:



## Interprétation des mesures:

Échec sur le bitume :

- Les données sont inexploitable
- tension de bruit sûrement

**Annexe 4 et 5**

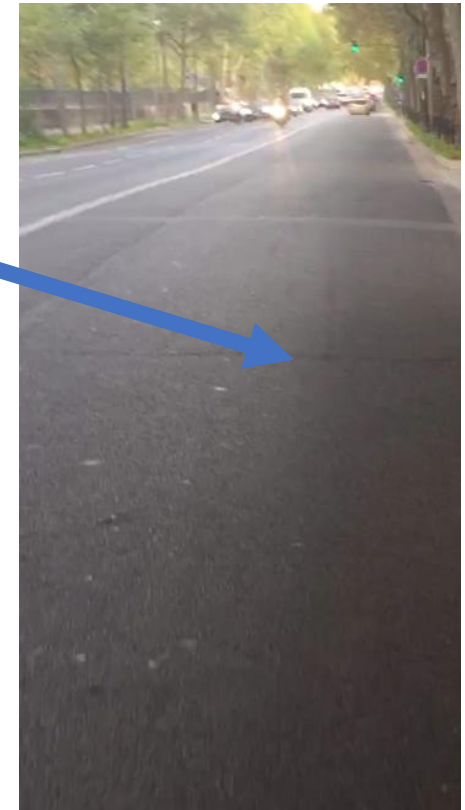
Source : Rapport de Stage la  
Sorbonne



Route de type  
bitume

## Première limite du système :

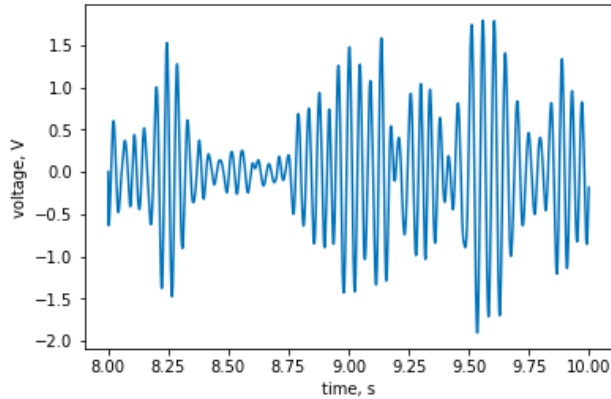
- Le pont de Graetz empêche toute mesure
- La vibration de la route est trop faible



Victor Peccenini  
N°

# 2 - Vérification des performances

## Résultats des mesures :



## Interprétation des résultats :

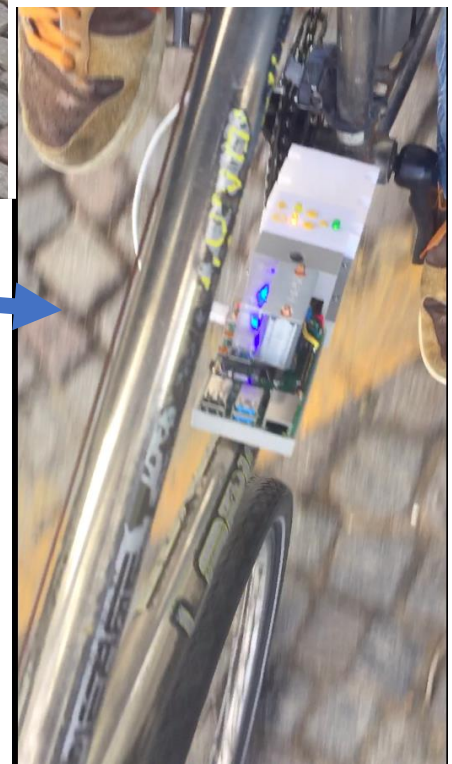
- Malgré le pont de Graetz, tension délivrée
- Tension de pics réutilisables

## Deuxième limite du système :

- Tension délivrée faible à récupérer



Route de type pavé

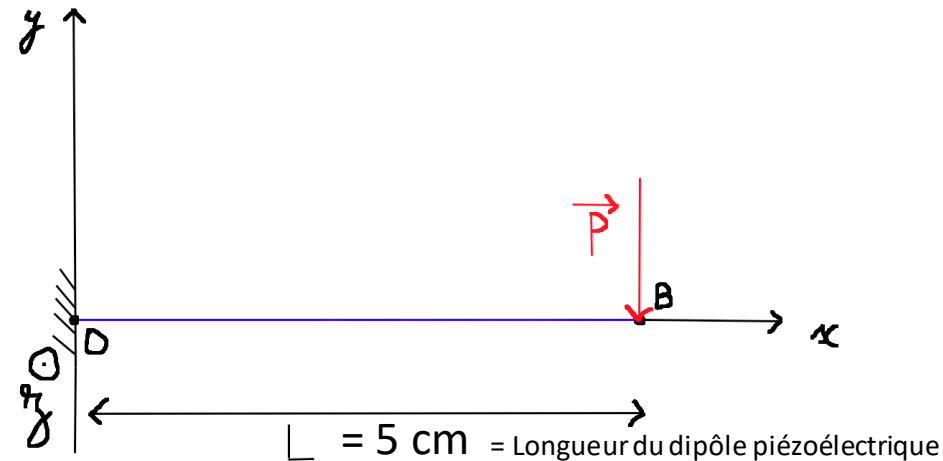


# 3 - Vérification de l'efficacité du système

## Etude du modèle de poutre en flexion :

### Données :

- Longueur, largeur, épaisseur : 5cm, 3cm, 0,5mm
- Matériau : Acier
- Raideur du support  $\gg$  raideur piézo
- Support uniquement pour modélisation mécanique
- Masse ajoutée au bout de la poutre : 10-20g (max 50g)
- K la raideur et m la masse



*Figure réalisée avec Paint*

## Hypothèses de la RDM :

- Sur le matériau
- Navier–Bernoulli (section de droites  $\perp$ )
- Petites déformations
- Barré Saint Venant
- Géométrie du solide (facteur 5)



# 3.1 - Etude de la raideur maximale

**Objectif :** Détermination du torseur de cohésion

On isole : Le tronçon 2

$$\{\tau_{coh}\} = \{\tau_{ext \rightarrow [2]}\}_G = \left\{ \begin{array}{l} \vec{R}_{ext \rightarrow [2]} \\ \vec{M}_{G, ext \rightarrow [2]} \end{array} \right\}_G$$

D'où  $\{\tau_{coh}\} = \left\{ \begin{array}{l} -P\vec{u}_y \\ -P(L-x)\vec{u}_z \end{array} \right\}_G$

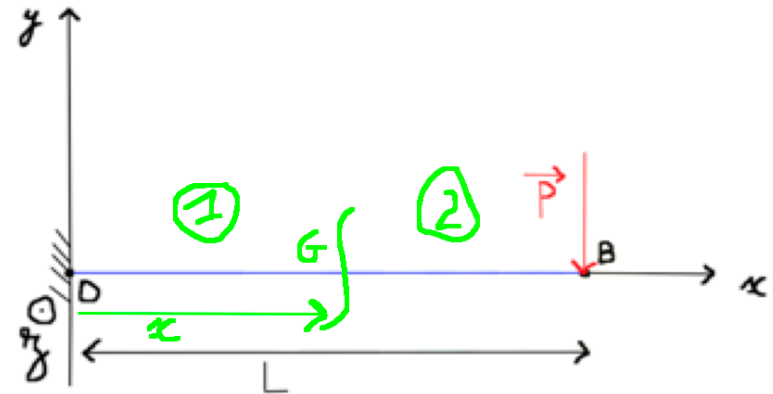


Figure réalisée sur Paint

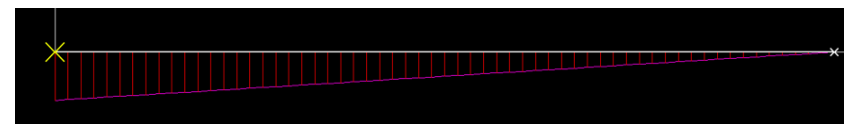
Le moment fléchissant :

$$M_{f_z} = -P(L - x)$$

Valide comparé à la modélisation

L'équation de la déformée :

$$\frac{d^2 u_y}{dx^2} = \frac{M_{f_z}}{EI_{(G, \vec{z})}}$$



Moment fléchissant : max MFZ = 2.50 N.cm  
max : Poutre 1 - X = 0.00 cm



# 3.1 - Etude de la raideur maximale

**Objectif :** Détermination de la raideur max en flexion :

Equation de la déformée après deux intégrations :

$$EI_{(G,\vec{z})}u_y(x) = -\frac{P}{6}(L-x)^3 + C_1x + C_2$$

Grâce aux conditions initiales :

$$C_1 = -\frac{PL^2}{2}$$

$$C_2 = -\frac{PL^3}{6}$$

L'équation de la déformée devient :

$$u_y(x) = \frac{1}{EI_{(G,\vec{z})}} \left( -\frac{P}{6}(L-x)^3 - \frac{PL^2}{2}x + \frac{PL^3}{6} \right)$$

La flèche :  $\delta = u_y(L_0) = -\frac{PL_0^3}{3EI_{(G,\vec{z})}}$

La raideur max : D'après la loi de Hooke :

$$k_{flex} = \frac{P}{|\delta|} = \frac{3EI_{(G,\vec{z})}}{L_0^3}$$

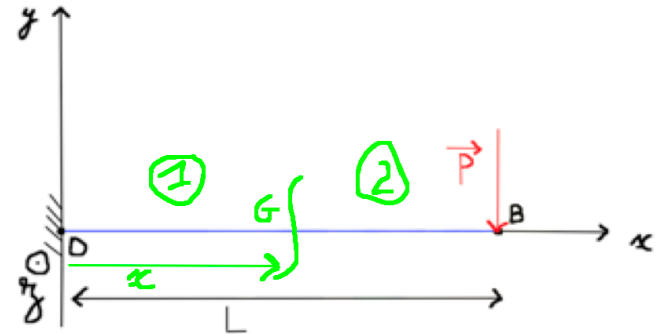


Figure réalisée sur Paint

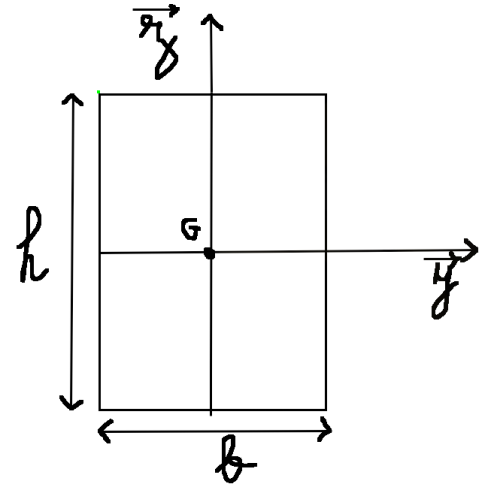
# 3.1 - Etude de la raideur maximale

**Objectif :** Détermination de la raideur max en flexion :

$$k_{flex} = \frac{P}{|\delta|} = \frac{3EI_{(G,\vec{z})}}{L_0^3}$$

Application numérique :

$$E_{acier} = 210 GPa$$



$$I_{(G,\vec{z})} = \frac{bh^3}{12} \Leftrightarrow I_{(G,\vec{z})} =^{AN} 0,3125 \text{ mm}^4$$

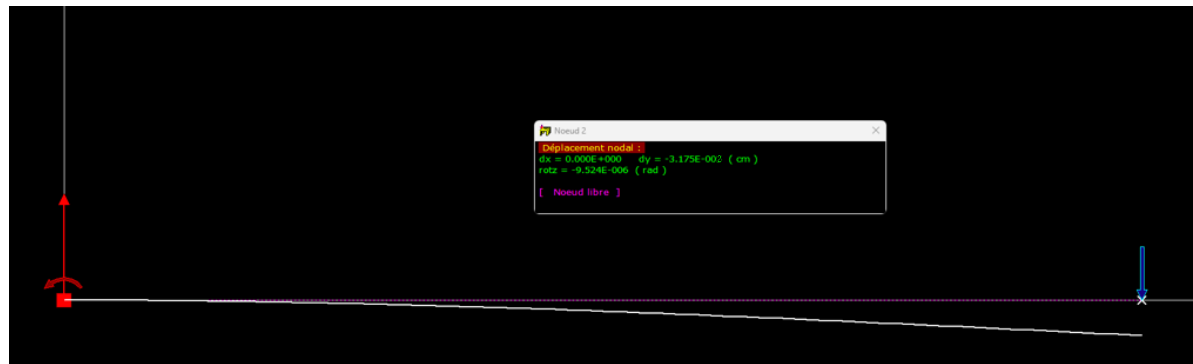
Avec  $h=0,5\text{mm}$  et  $b = 3\text{cm}$

$$k_{flex max} = 1,57 \text{ N.mm}^{-1}$$

Interprétation :

$$\text{On a : } |\delta| = 3,175 \times 10^{-2} \text{ cm}$$

$$k_{flex max} = \frac{P}{|\delta|} =^{AN} 1,574 \text{ N.mm}^{-1}$$



Source : RDM 7.04 Ossatures

Victor Peccenini  
N°

# 3.2 Vérification de l'énergie récupérable

Expression énergie récupérable :

$$E_{\text{récupérable}} = P \times t$$

$$E_{\text{récupérable}} = \sum V I dt$$

D'après la loi d'ohm :  $V = RI$

$$E_{\text{récupérable}} = \sum \frac{V^2}{R}$$

$$E_{\text{récupérable}} = {}^{AN} 4,70 \times 10^{-6} \text{ J}$$

Expression de la puissance :

$$P_{\text{moy}} = \frac{E_{\text{récupérable}}}{(b - a)}$$

$$P_{\text{moy}} = {}^{AN} 2,35 \times 10^{-6} \text{ W}$$

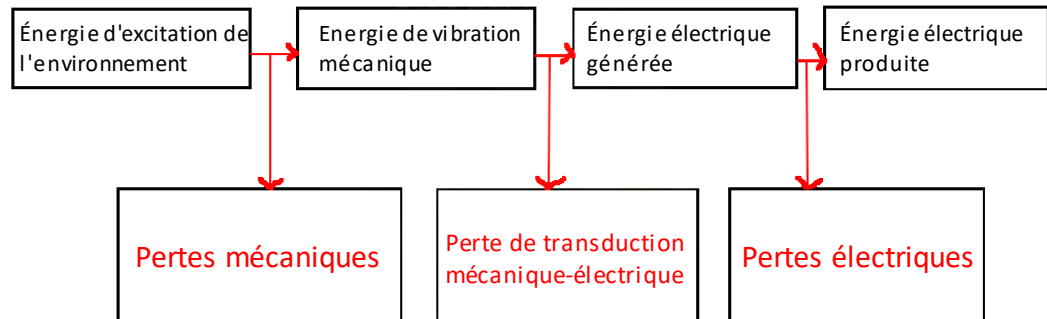
```
alpha = 0.4e-4
V0=0
C=10e-9
R=10e6

a=8
b=10
p=0.001
tel, V = euler_explicite(dV, a, b, 0, p)

Wr_ab=0
for val in V:
    Wr_ab=Wr_ab+val**2/R*p

Pr_ab=Wr_ab/(b-a)
print('Energie recoltée : {:.12e} J, Puissance moyenne entre a et b : {:.12e}'.format(Wr_ab, Pr_ab))
```

Energie recoltée : 4.70e-06 J, Puissance moyenne entre a et b : 2.35e-06



# CONCLUSION

- Travailler la géométrie du transducteur
- Adapter les paramètres électromécaniques
- Récupérer petite partie d'énergie présente dans l'environnement,  
l'objectif n'est jamais de récupérer l'énergie totale.
- Efficacité relative comparée à ce qu'aurait pu récupérer un système idéal

# Annexes

Victor  
Peccenini

N°18461

1 – Présentation du code initial

2 – Euler explicite méthode

3 – Euler explicite code

4 – Mesures sur le bitume

5 – Mesures sur le bitume

6 – Mesures sur les pavés

7 – Modélisation poutre flexion

8 – Modélisation poutre flexion

# Annexe1 : Présentation du code initial

```
import pandas as pd
import matplotlib.pyplot as plt
import PyQt5
import math
import scipy.integrate
import numpy as np
%matplotlib notebook
pd.options.mode.chained_assignment = None # default='warn'

file_csv='/Users/pecce.victor/Desktop/prepa TIPE velo piezo/data_1667399308.csv'

# lire le fichier .csv dans la frame base
base=pd.read_csv(file_csv, sep=',', skipinitialspace=True, encoding="utf-8")

#Changer les types des cellules en float
for field in base.columns:
    base[field] = base[field].astype(float)

print(base[0:100])

# passage des unités binaires processeurs aux unités physiques
for i in base.index:
    base['Delta T (ms)'][i]= base['Delta T (ms)'][i]/1000000.0
    base['Time (s)'][i]= base['Time (s)'][i]/1000000.0
    base['Accel X (m/s^2)'][i]= (base['Accel X (m/s^2)'][i]-13130.0)*0.0202199
    base['Accel Y (m/s^2)'][i]= (base['Accel Y (m/s^2)'][i]-13130.0)*0.0202199
    base['Accel Z (m/s^2)'][i]= (base['Accel Z (m/s^2)'][i]-13130.0)*0.0202199
    base['Volt (V)'][i]= base['Volt (V)'][i]*0.000125

print(base[0:9])
```

```
# Les valeurs "temps accélération" utilisées dans la simulation

az=base['Accel Z (m/s^2)']
taz=base['Time (s)']/1000
```

```
plt.figure(1)
plt.plot(base['Time (s)'], base['Accel X (m/s^2)'])
plt.legend(['Ax'])
plt.figure(2)
plt.plot(base['Time (s)'], base['Accel Y (m/s^2)'])
plt.legend(['Ay'])
plt.figure(3)
plt.plot(base['Time (s)'], base['Accel Z (m/s^2)'])
plt.legend(['Az'])

#plt.figure(3)
#plt.plot(base['Time (s)'], base['Accel X (m/s^2)'])
#plt.plot(base['Time (s)'], base['Accel Y (m/s^2)'])
#plt.plot(base['Time (s)'], base['Accel Z (m/s^2)'])
#plt.legend(['Ax', 'Ay', 'Az'])

plt.figure(4)
#plt.plot(base['Time (s)'], base['Accel X (m/s^2)'])
#plt.plot(base['Time (s)'], base['Accel Y (m/s^2)'])
#plt.plot(base['Time (s)'], base['Accel Z (m/s^2)'])
plt.plot(base['Time (s)'], base['Volt (V)']*1000)
```

*Code réalisé sous Visual code Studio*

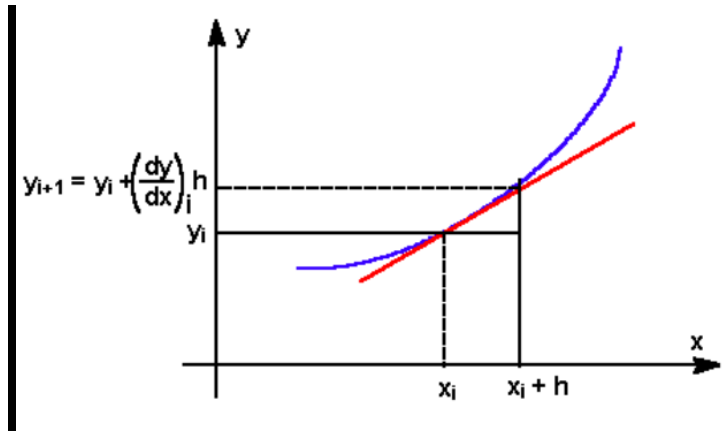


# Annexe 2 – Euler explicite

Cas d'une équation différentielle du premier ordre dont la forme mathématique est :  $\frac{dy}{dx} = f(x, y)$

A partir de la connaissance de la valeur de  $y = y_0$  pour une valeur de  $x = x_0$ ,

Calcul de la valeur :  $\frac{dy}{dx}$  en ce point  $\left(\frac{dy}{dx}\right)_0$



La valeur estimée de  $y$  pour  $x = x_0 + dx$  sera prise égale à :  $y_0 + dy = y_0 + \left(\frac{dy}{dx}\right)_0 \times dx$

Appelons  $h$  le pas d'intégration

La valeur  $y_{i+1}$  est déterminée en ajoutant  $dy_i$  à la valeur  $y_i$  :

$$y_{i+1} = y_i + dy_i = y_i + h f(x_i, y_i)$$

Source : [https://www4.ac-nancy-metz.fr/physique/ancien\\_site/divers/MethodNum/euler/EULER.htm](https://www4.ac-nancy-metz.fr/physique/ancien_site/divers/MethodNum/euler/EULER.htm)

Victor Peccenini  
N°

# Annexe 3 – Euler explicite

```
#paramètres du résonateur
m=5e-3
k=100
Q=10
mu=math.sqrt(m*k)/Q

# La force externe en fonction du temps
# retourne la valeur de l'accélération multiplié par la masse
# A partir des données expérimentales, en utilisant la fonction interpolation
def Fext(t):
    # if t>0:
    #     return 1
    # else :
    #     return 0
    #
    return np.interp(t, taz, -m*az)

def func(t,gamma):
    return [gamma[1], 1/m*(Fext(t)-mu*gamma[1]-k*gamma[0])]

#Création d'un objet "intégrateur d'équation différentielle dot gamma = func (gamma)"
r = scipy.integrate.ode(func)
# on définit les conditions initiales
r.set_initial_value([0,0], 0)

# On intègre : la solution entre 0 et t1, avec un pas d'intégration de 0.0001 s
t1 = 10
dt = 0.0001
# on crée les tableaux vides pour les solutions
x=[]
v=[]
t=[]
# On intègre l'équation pas par pas
while r.successful() and r.t < t1:
    gamma=r.integrate(r.t+dt)
    tx=np.append(t,r.t+dt)
    x=np.append(x,gamma[0])
    v=np.append(v,gamma[1])
```

```
def dV(V,C,R,i):
    return((i - V/R)*(1/C))

def euler_explicite(dV, a, b, V0, p):
    V = V0
    tlist = [a]
    Vlist = [V0]
    for j in range(round((b-a)/p)):
        dVdt = dV(V, C, R, alpha*np.interp(j*p+a, tx, v))
        # dVdt = dV(V, C, R, 1)
        V = V + dVdt*p
        Vlist.append(V)
        tlist.append(p*j +a)
    return tlist, Vlist

alpha = 0.4e-4
V0=0
C=10e-9
R=10e6

a=8
b=10
p=0.001
tel, V = euler_explicite(dV, a, b, 0, p)
```

# Annexe 4 – Mesures sur le bitume

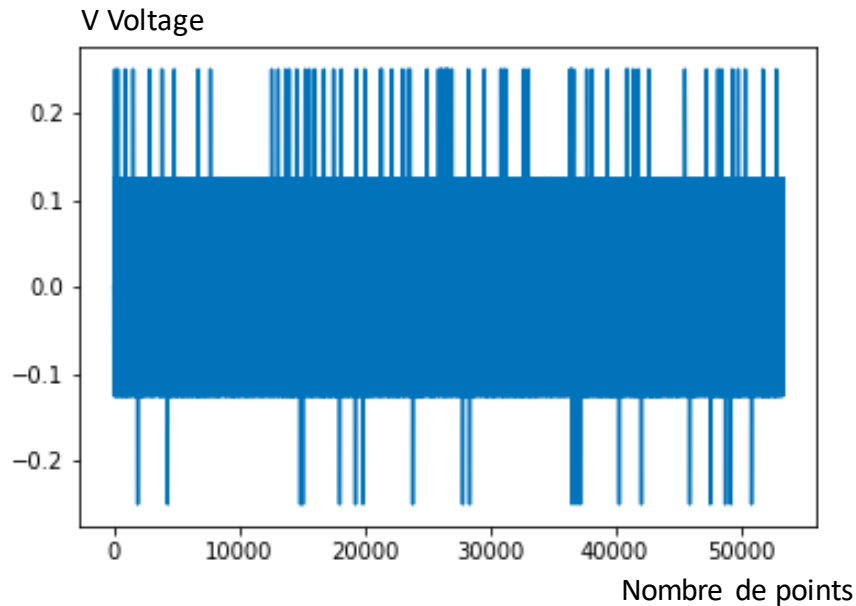
## Les mesures sous forme de tableau :

```
[79]
... Output exceeds the size limit. Open the full output data in a text editor
  Time (s) Delta T (ms) Accel X (m/s^2) Accel Y (m/s^2) \
0 2965269.0 2965269.0 13080.0 13480.0
1 4628549.0 1663280.0 13078.0 13481.0
2 6331776.0 1703227.0 13080.0 13471.0
3 7920908.0 1589132.0 13080.0 13482.0
4 9508687.0 1587779.0 13090.0 13484.0
5 11096263.0 1587576.0 13078.0 13478.0
6 12684728.0 1588465.0 13081.0 13477.0
7 14269451.0 1584723.0 13082.0 13472.0
8 15897862.0 1628411.0 13084.0 13483.0
9 17483419.0 1585557.0 13084.0 13480.0
10 19069438.0 1586019.0 13081.0 13476.0
11 20650677.0 1581239.0 13080.0 13481.0
12 22233769.0 1583092.0 13086.0 13482.0
13 23814509.0 1580740.0 13083.0 13476.0
14 25396952.0 1582443.0 13086.0 13478.0
15 26999943.0 1602991.0 13087.0 13487.0
16 28582387.0 1582444.0 13084.0 13484.0
17 30163200.0 1580813.0 13086.0 13479.0
18 31748497.0 1585297.0 13088.0 13478.0
19 33329106.0 1580609.0 13089.0 13479.0
20 34909808.0 1580702.0 13087.0 13477.0
21 36507778.0 1597970.0 13083.0 13475.0
22 38111399.0 1603621.0 13086.0 13477.0
23 39713167.0 1601768.0 13091.0 13475.0
...
5 -0.000125
6 0.000000
7 -0.000125
8 0.000000
```



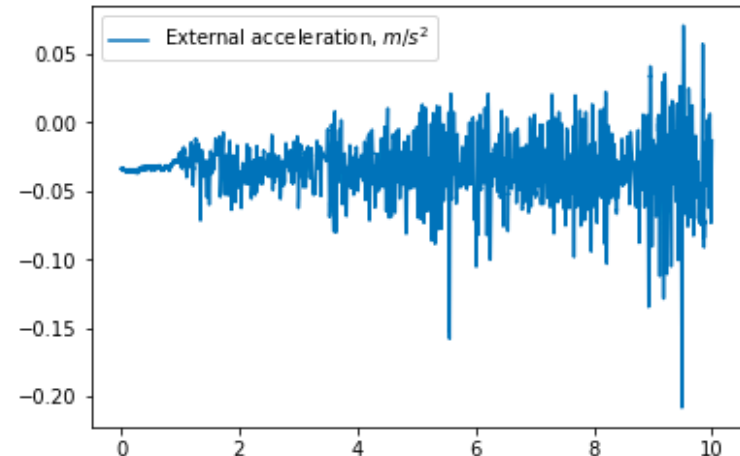
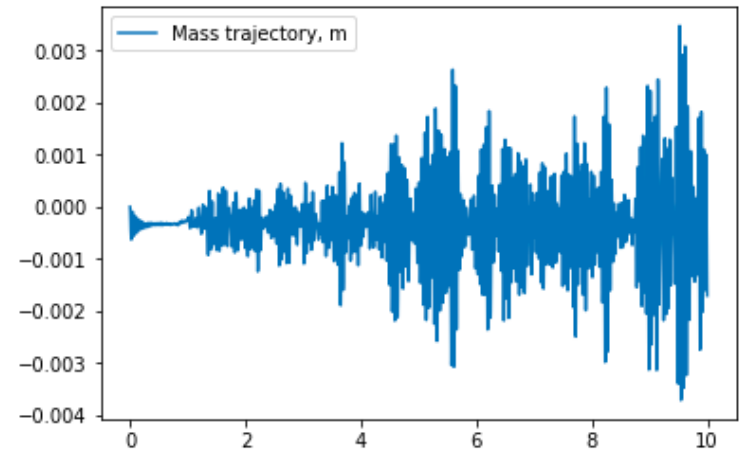
Il ne s'agit que d'un  
échantillon → voir le  
problème

# Annexe 5 – Mesures sur le bitume

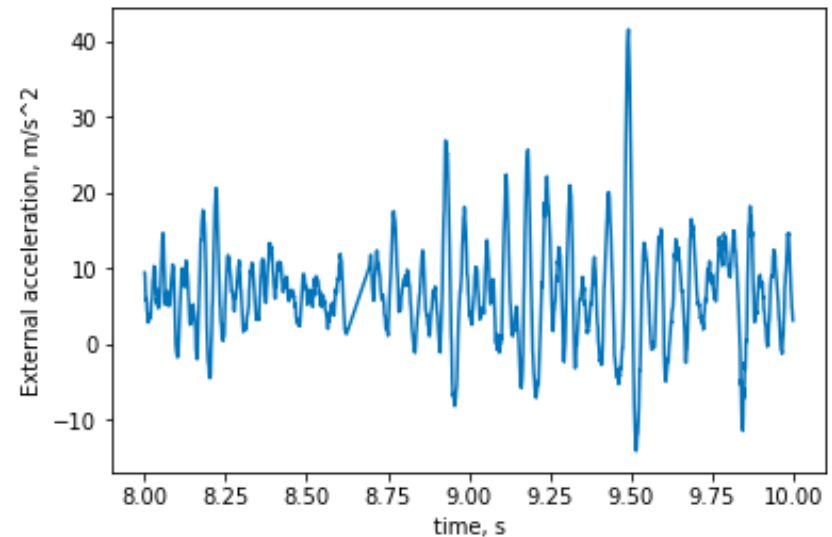
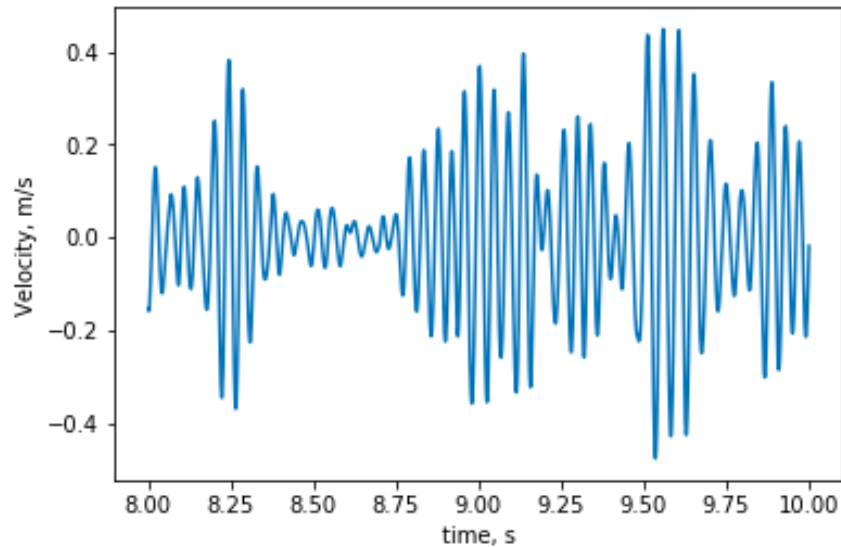


## Interprétation graphique des tensions :

- 50 000 points → phénomène de bruit visible, pas du sol



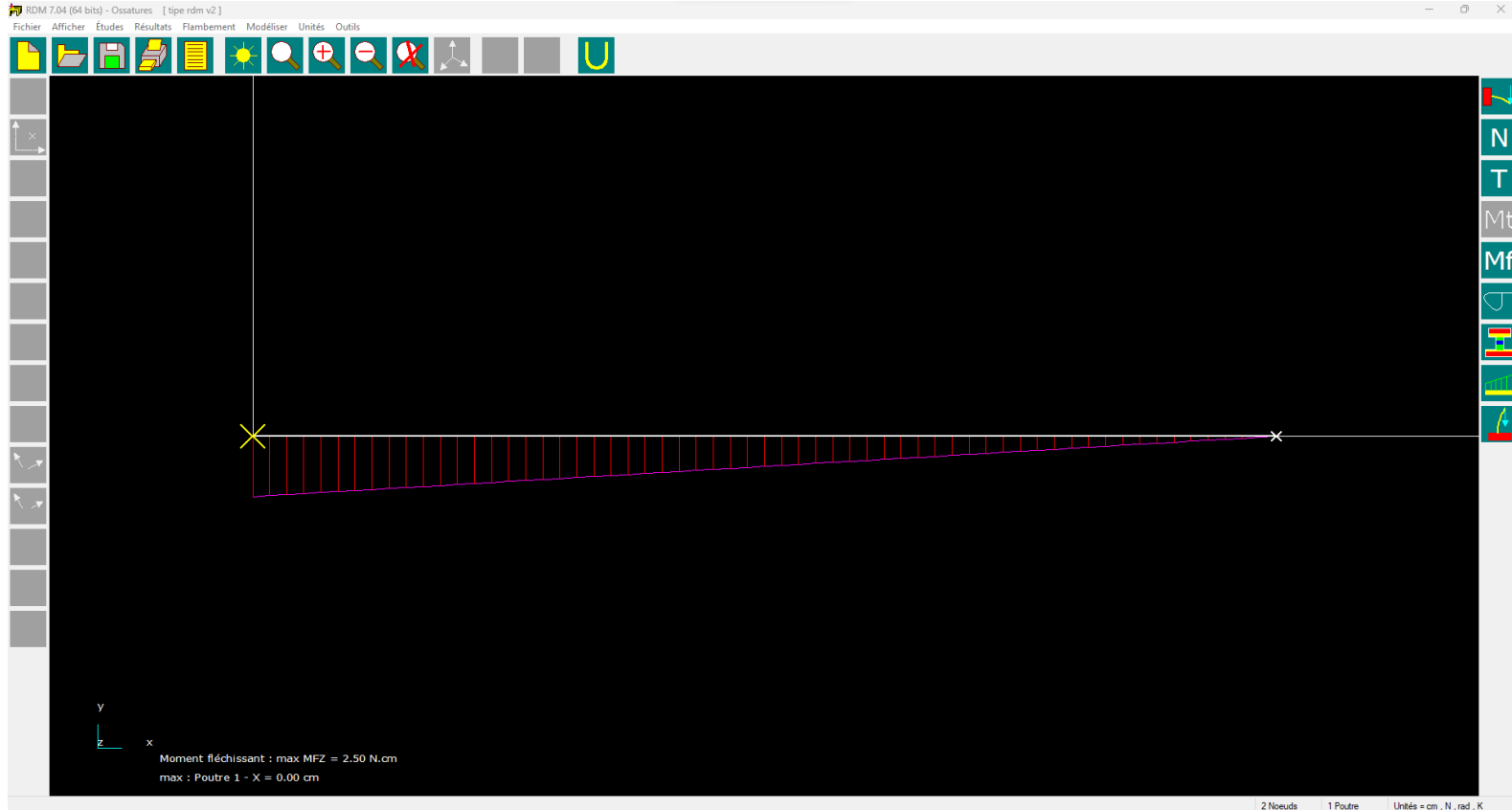
# Annexe 6 – Mesures sur les pavés



## Interprétation :

- Des pics à  $|4\text{m/s}|$ .
- Des pics à plus de  $|10\text{m/s}^2|$ .

# Annexe 7 – Modélisation poutre flexion



## Interprétation:

- Bras de levier  $>$  à l'encastrement  $\Leftrightarrow$  le plus loin du bout libre

Source : RDM 7.04 Ossatures

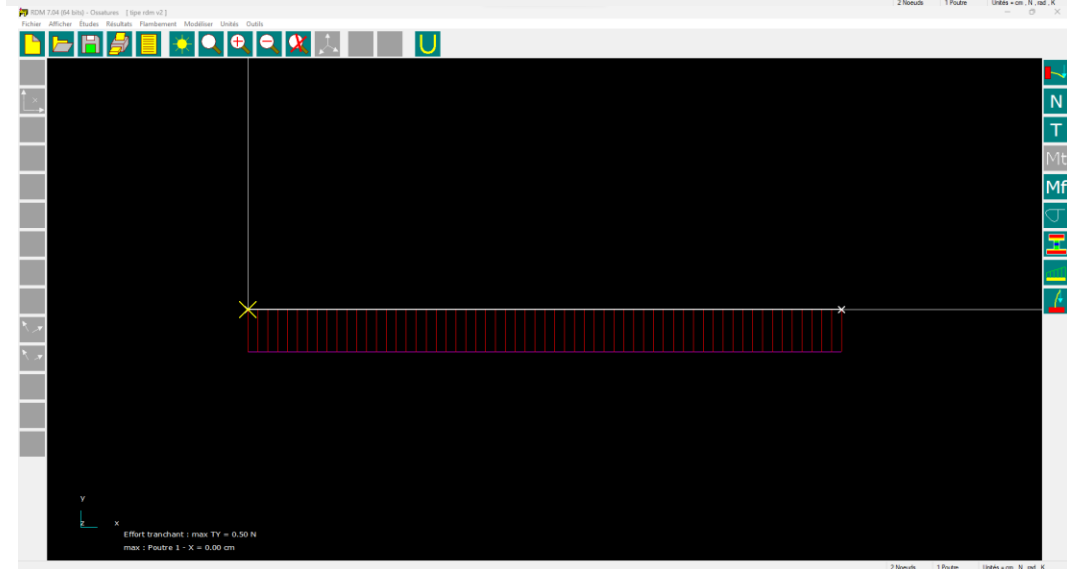
Victor Peccenini  
N°



# Annexe 8 – Modélisation poutre flexion



Module de la contrainte normale ( MF + N ) : max = 0.20 MPa  
max : Poutre 1 - X = 0.00 cm



Effort tranchant : max TY = 0.50 N  
max : Poutre 1 - X = 0.00 cm